

产品特点:

- 高导热绝缘陶瓷基板
- 良好的热疲劳性能
- 高的浪涌能力

应用领域:

- 不间断电源(UPS)
- 直流电机励磁
- 新能源

| $V_{RRM}(V)$ | $V_{RSM}(V)$ | 型号 |
|--------------|--------------|------------|
| 800 | 900 | MDX5000865 |
| 1000 | 1100 | MDX5001065 |
| 1200 | 1300 | MDX5001265 |
| 1400 | 1500 | MDX5001465 |
| 1600 | 1700 | MDX5001665 |
| 1800 | 1900 | MDX5001865 |
| 2000 | 2100 | MDX5002065 |



W65系列

最大额定值

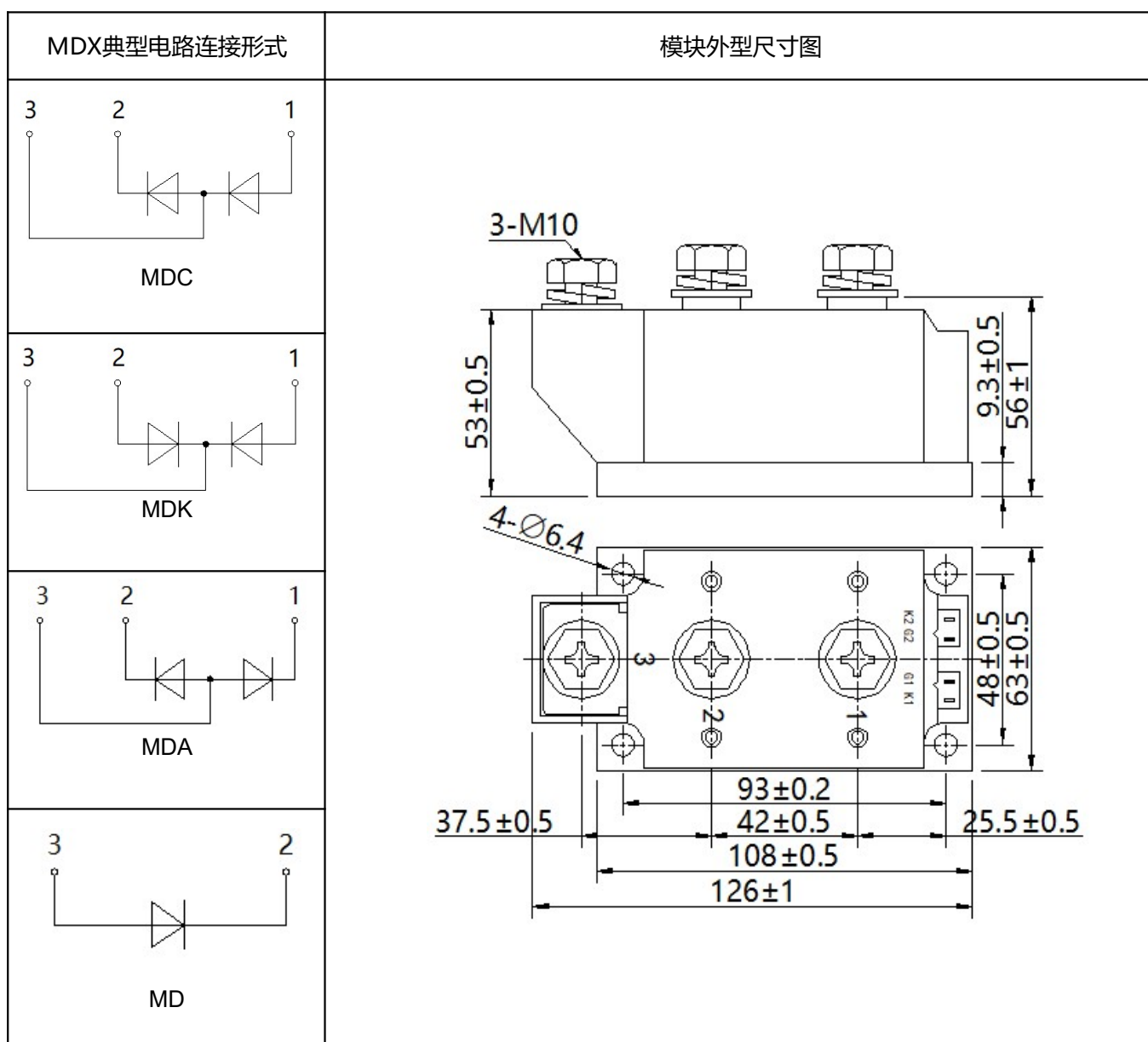
| 符号 | 参数 | 测试条件 | 额定值 | 单位 |
|-------------|---------------|--|-------------|----------------------|
| $I_{F(AV)}$ | 正向平均电流 | 50Hz, 180°正弦半波, $T_C=100^\circ\text{C}$ | 500 | A |
| I_{FSM} | 正向 (不重复) 浪涌电流 | 50Hz, 正弦半波, $T_{VJ}=150^\circ\text{C}, V_R=60\%V_{RRM}$ | 13800 | A |
| I^2t | I^2t | | 952200 | A^2S |
| V_{FO} | 门槛电压 | 150°C | 0.75 | V |
| r_F | 斜率电阻 | 150°C | 0.3 | $\text{m}\Omega$ |
| T_{VJ} | 结温 | | -40 to +150 | °C |
| T_{STG} | 储存温度 | | -40 to +125 | °C |
| V_{ISO} | 绝缘电压 | 交流 1 分钟 | 3000 | V |

电特性和热特性

| 符号 | 参数 | 测试条件 | 最小值 | 典型值 | 最大值 | 单位 |
|---------------|----------|--|-----|------|------|------|
| I_{RRM} | 反向重复峰值电流 | $V_R=V_{RRM}, T_{VJ}=25^\circ\text{C}$ | ... | ... | 1 | mA |
| | | $V_R=V_{RRM}, T_{VJ}=150^\circ\text{C}$ | ... | ... | 30 | mA |
| V_{FM} | 正向峰值电压 | $I_{FM}=1500\text{A}, T_{VJ}=25^\circ\text{C}$ | ... | 1.18 | 1.4 | V |
| $R_{th(c-h)}$ | 壳-散热器热阻 | 每只模块 | ... | ... | 0.03 | °C/W |
| $R_{th(j-c)}$ | 结-壳热阻 | 每只芯片 | ... | ... | 0.09 | °C/W |

机械特性额定值

| 符号 | 参数 | 测试条件 | 数值 | | | 单位 |
|----|------|----------------|-----|------|-----|-----|
| | | | 最小 | 典型 | 最大 | |
| M | 安装扭矩 | 模块与散热固定力矩 (M6) | 4.5 | | 5.5 | N·m |
| | | 电极连接固定力矩 (M10) | 10 | | 12 | N·m |
| wt | 重量 | | | 1458 | | g |



曲线图

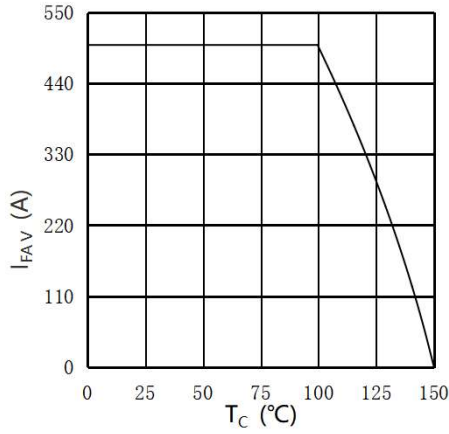


图1.壳温与电流特性曲线

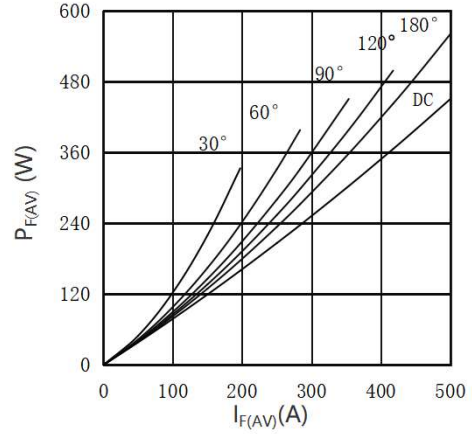


图2.平均功耗特性曲线

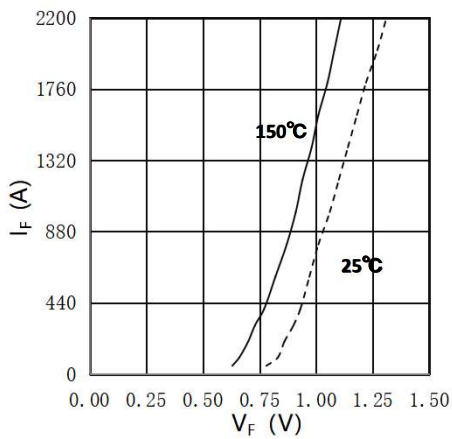


图3.压降特性曲线

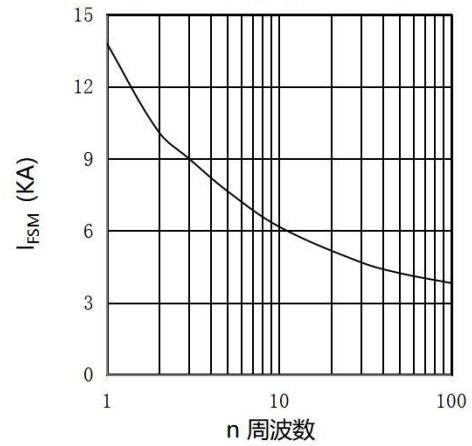


图4.浪涌电流特性曲线

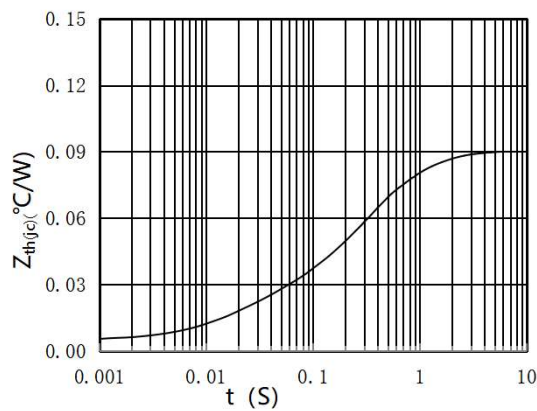


图5.瞬态热阻抗曲线